

ИЗВЕСТИЯ  
ТОМСКОГО ОРДЕНА ОКТЯБРЬСКОЙ РЕВОЛЮЦИИ  
И ОРДЕНА ТРУДОВОГО КРАСНОГО ЗНАМЕНИ  
ПОЛИТЕХНИЧЕСКОГО ИНСТИТУТА ИМЕНИ С. М. КИРОВА

Том 282

1974

**ВОЗМОЖНОСТЬ ПОЛУЧЕНИЯ ДОПОЛНИТЕЛЬНОЙ  
ИНФОРМАЦИИ О ХАРАКТЕРЕ ПОВРЕЖДЕНИЯ  
ПРИ ВЫПОЛНЕНИИ ЗАЩИТЫ ОТ ЗАМЫКАНИЯ НА ЗЕМЛЮ  
НА ТОКЕ С ЧАСТОТОЙ 25 Гц**

Б. Г. ТРЕТЬЯКОВ

(Представлена научно-техническим семинаром кафедры электрических станций)

В практике часто встречаются случаи, когда отходящие фидеры подстанций состоят из нескольких параллельных кабелей. В связи с этим возникает необходимость селективной сигнализации замыканий на землю не только самого фидера, но и каждого его кабеля, а также определение места замыкания. Некоторые возможности при решении этой задачи дают метод, основанный на наложении контрольного тока с частотой 25 Гц на сеть промышленной частоты, разработанный на кафедре электрических станций Томского политехнического института.

В качестве источника контрольного тока применяется электромагнитный параметрический делитель частоты специальной конструкции, включаемый последовательно в цепь дугогасящей катушки [1]. Выбор частоты ниже промышленной обусловлен тем, что распределение тока низкой частоты при замыкании лучше, чем тока повышенной частоты, так как он меньше шунтируется емкостями неповрежденных элементов [2]. Кроме того, применяемый в данном случае метод позволяет селективно контролировать наличие замыкания в сети даже тогда, когда с нее снято рабочее питание.

Рассмотрим схему замещения фидера, состоящего из  $n$  параллельных кабелей, один из которых получил замыкание на землю в точке  $k$ , удаленной от шин на расстояние  $l$  (рис. 1). На рисунке обозначено:

$L$  — полная длина кабеля;

$U$  — напряжение источника контрольного тока;

$I$  — ток замыкания на землю с частотой 25 Гц;

$x$  — сопротивление дугогасящей катушки;

$C_1 \div C_n$  — емкости соответствующих кабелей относительно земли;

$z_1 = z_2 = z_n$  — сопротивления кабелей;

ТНП — трансформаторы тока нулевой последовательности.

Расчет производим по схеме замещения, показанной на рис. 2, на которой

$$z = \frac{R_0 L}{n-1} + R_0(L-l), \quad z_1 = R_0 l,$$

где  $R_0$  — сопротивление кабеля на единицу длины.

$$I = \frac{U}{x + \frac{z \cdot z_1}{z + z_1}}. \quad (1)$$

Ток через ТНП поврежденного кабеля

$$I_1 = I \cdot \frac{z}{z+z_1}. \quad (2)$$

Суммарный ток здоровых кабелей

$$I_2 = I \cdot \frac{z_1}{z+z_1}. \quad (3)$$

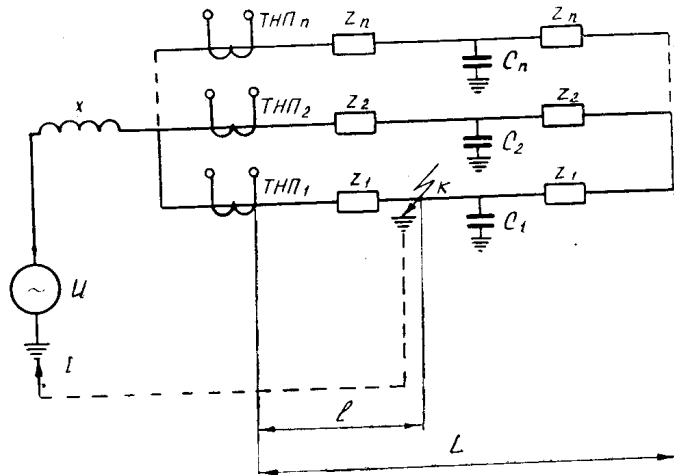


Рис. 1. Схема замещения нулевой последовательности фидера компенсированной сети, состоящего из  $n$  параллельных кабелей

Подставляя в (1), (2) и (3) значения сопротивлений, после ряда преобразований получим

$$I = \frac{U}{x + lR_0 \left[ 1 - \frac{l}{L} \left( 1 - \frac{1}{n} \right) \right]}; \quad (4)$$

$$I_1 = \frac{U [Ln - l(n-1)]}{xLn + lR_0Ln \left[ 1 - \frac{l}{L} \left( 1 - \frac{1}{n} \right) \right]}; \quad (5)$$

$$I_2 = \frac{Ul(n-1)}{xLn + lR_0Ln \left[ 1 - \frac{l}{L} \left( 1 - \frac{1}{n} \right) \right]}. \quad (6)$$

Величиной

$$lR_0 \left[ 1 - \frac{l}{L} \left( 1 - \frac{1}{n} \right) \right]$$

можно пренебречь ввиду ее малости по сравнению с сопротивлением дугогасящей катушки. Формулы (4), (5) и (6) принимают вид:

$$I = \frac{U}{x}; \quad (7)$$

$$I_1 = \frac{U[Ln - l(n-1)]}{xLn}; \quad (8)$$

$$I_2 = \frac{Ul(n-1)}{xLn}. \quad (9)$$

Ток с частотой 25 Гц, протекающий по одному из здоровых кабелей,

$$I_2' = \frac{I_2}{n-1}. \quad (10)$$

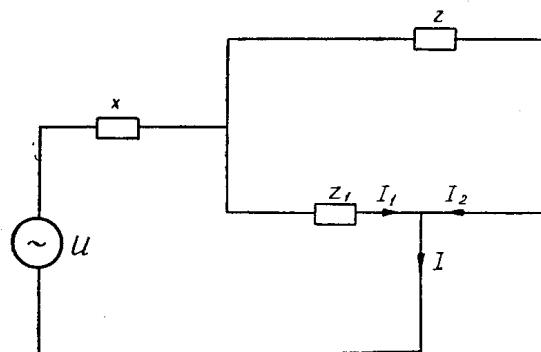


Рис. 2. Расчетная схема замещения нулевой последовательности фидера компенсированной сети, состоящего из  $n$  параллельных кабелей

На рис. 3 показан характер распределения токов по здоровым и поврежденному кабелям при замыкании. Наклон характеристик  $I_1$ ,  $I_2$ ,  $I_2'$  в функции от  $l$  зависит от количества параллельных кабелей и от их длины.

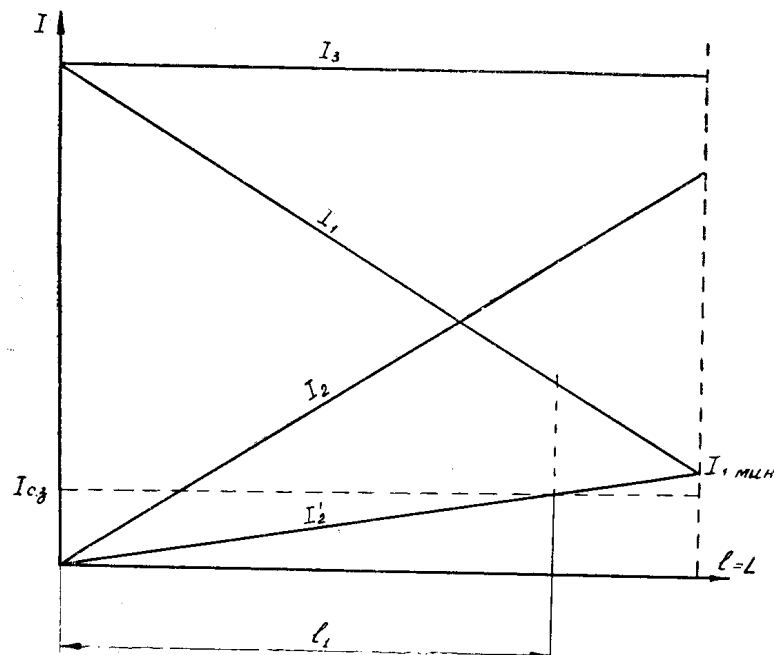


Рис. 3. Характер распределения токов при замыкании одного из кабелей в зависимости от расстояния места замыкания до шин

Из рис. 3 видно, что при замыкании на землю на расстоянии от шин, удовлетворяющем условию  $l < l_1$ , защита будет срабатывать только на поврежденном кабеле. Величина  $l_1$  может быть определена из уравнения

$$I'_2 = I_{cp}, \quad (11)$$

где  $I_{cp}$  — ток срабатывания защиты.

Подставляя (9) и (10) в уравнение (11), получим

$$l_1 = \frac{I_{cp}xLn}{U}. \quad (12)$$

Из (12) следует, что для увеличения  $l_1$  нужно увеличивать ток срабатывания защиты. Однако, как видно из рис. 3,  $I_{cp}$  должен оставаться всегда меньше  $I_{1\min}$ . При таких ограничениях соблюдение указанного требования означает необходимость выполнения реагирующего органа защиты с высокой стабильностью уровня срабатывания.

Проведенный анализ также показывает, что на фидерах, состоящих из нескольких параллельных кабелей, возможно определение расстояния до места замыкания путем измерения токов с частотой 25 Гц в режиме устойчивого замыкания. Расстояние до места замыкания при известных токах  $I_1$  и  $I_2$ <sup>1</sup> определяется формулой, полученной путем деления выражения (8) на (10):

$$l = \frac{Ln}{\frac{I_1}{I_2} + n - 1}. \quad (13)$$

Реализация такого способа определения расстояния до места замыкания накладывает определенные требования к стабильности и линейности амплитудной характеристики реагирующего органа, а при наладке требует проверки идентичности трансформаторов тока нулевой последовательности.

## Выводы

Предлагаемый метод позволяет селективно определять поврежденный кабель из пучка параллельных кабелей одного из фидеров компенсированной сети и с достаточной точностью расстояние до места замыкания.

## ЛИТЕРАТУРА

1. Р. А. Вайнштейн, А. В. Шмойлов. Источники контрольного тока для защиты от замыканий на землю сетей с компенсированной нейтралью. Изв. ТПИ, т. 172, 1967.
2. Р. А. Вайнштейн. Некоторые вопросы сигнализации замыканий на землю в компенсированных сетях, осуществляющей наложением на сеть тока с частотой, отличающейся от частоты сети. Сб. докладов. Новосибирск, 1964.